



پیاده سازی فیلترهای آنالوگ مد جریانی با استفاده از CDTA

محرم حسین پور و بابک قصاب زاده اهرابی

گروه مهندسی برق الکترونیک- دانشگاه آزاد اسلامی واحد تبریز

babakahrabi@gmail.com

m.hosseinpour.n@gmail.com

چکیده - در این مقاله یک قطعه‌ی فعال جدید با دو ورودی جریان و دو نوع خروجی جریان به نام تقویت کننده‌ی دیفرانسیلی جریان از نوع هدایت انتقالی (CDTA) پیشنهاد شده است. این قطعه، ترکیبی از المان‌های مشخص CDBA (تقویت کننده‌ی بافر دیفرانسیلی جریان) و OTA (تقویت کننده‌ی عملیاتی از نوع هدایت انتقالی) می‌باشد که برای پیاده سازی فیلترهای آنالوگ مد جریانی مورد استفاده قرار می‌گیرد. در ادامه نیز سیستم مبتنی بر CDTA نشان داده شده و چند مورد کاربردی نیز پیشنهاد شده است.

کلید واژه- CDTA, CCII, OTA, فیلتر مرتبه دوم توماس، فیلتر نردبانی

پس به محدوده مطلوبی از مد جریانی نزدیک خواهیم شد. این مقاله دارای ساختار زیر می‌باشد: در بخش ۲، مدل رفتاری قطعه‌ی CDTA^۱ به همراه گراف‌های ساده برای مدل سازی آن معرفی شده است. در بخش ۳ نیز برخی از کاربردهای ممکن قطعه‌ی CDTA با توجه به ساختار فیلترهای مد جریانی مطرح شده و بالاخره در بخش ۴، شبیه سازی فیلترهای پیشنهادی مبتنی بر CDTA ارائه شده است.

۲- CDTA و مدل‌های آن

شكل (۱) مدل ساده‌ای از قطعه‌ی CDTA ایده‌آل را نشان می‌دهد. این قطعه نیز مانند CDBA دارای ورودی‌های جریان دیفرانسیلی p و n می‌باشد. تفاضل این جریان‌ها از پایانه‌ی z به طرف یک بار خارجی جریان می‌یابد و ولتاژ حاصل در پایانه‌ی z بوسیله یک مدار با خروجی g به یک جریان تبدیل می‌شود که این جریان به صورت یک جفت جریان به پایانه‌های x منتقل می‌گردد. بخش نهایی این قطعه همان OTA^۲ (تقویت کننده‌ی عملیاتی از نوع هدایت انتقالی)^۳ می‌باشد.

۱- مقدمه

قطعه‌ی مداری CDBA^۱ (تقویت کننده‌ی بافر دیفرانسیلی جریان) در [۱] معرفی شده است. CDBA، جریان جاری شده در جفت ورودی‌های امپدانس پایین را به یک جریان دیفرانسیلی (تفاضلی) تبدیل می‌کند که این جریان به پایه ای که z نامیده می‌شود، وارد شده و متنهی به بار می‌باشد. ولتاژ حاصل در ترمینال z به وسیله یک بافر بهره واحد داخلی عیناً به یک ترمینال امپدانس پایین w انتقال می‌یابد. فعال کردن ورودی‌های جریان با جمع ساده‌ی جریان‌های ورودی که به وسیله منابع ولتاژ تولید می‌شوند، صورت می‌گیرد. به این ترتیب این قطعه برای ترکیبی ویژه از مدل ولتاژی مناسب می‌باشد.

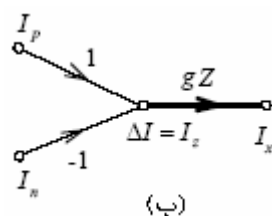
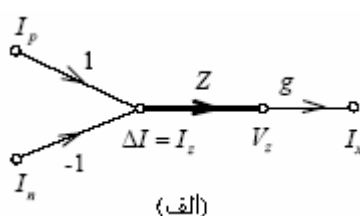
در قطعه‌ی CDBA اگر بافر ولتاژ را با یک منبع جریانی جایگزین کنیم، به طوری که این منبع به وسیله ولتاژ پایانه z کنترل شود، آنگاه یک مدار با خروجی‌ها و ورودی‌های z صرفاً جریان حاصل خواهد شد. جریان منبع اشاره شده جریانی برگرفته شده از ولتاژ امپدانس متصل به پایانه‌ی z خواهد بود و اگر انتخاب صحیحی از سطح امپدانس پایین داشته باشیم، سطوح ولتاژ به مقدار کافی کوچک خواهد بود.



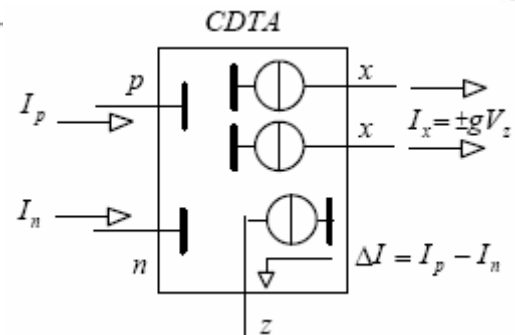
بوسیله‌ی دو $^{\Delta}CCII+$ مشابه و یک OTA پیاده سازی شده است، را نشان می‌دهد. در شکل (۲-الف) با علامت گذاری ولتاژ ترمینال‌های V_x, V_n, V_p با سمبول‌های x, n, p ، برای المان $-V_z$ معادله زیر صادق می‌باشد.

$$\begin{pmatrix} I_z \\ I_{x+} \\ I_{x-} \\ V_p \\ V_n \end{pmatrix} = \begin{pmatrix} 0 & 0 & 0 & 1 & -1 \\ g & 0 & 0 & 0 & 0 \\ -g & 0 & 0 & 0 & 0 \\ 0 & 0 & 0 & 0 & 0 \\ 0 & 0 & 0 & 0 & 0 \end{pmatrix} \begin{pmatrix} V_z \\ V_{x+} \\ V_{x-} \\ I_p \\ I_n \end{pmatrix}$$

همان طور که در زیر نشان داده شده، در اغلب کاربردها، پایانه‌ی Z توسط امپدانس زمین شده‌ی Z بار می‌شود. برای تجزیه و تحلیل چنین مدارهایی گراف‌های^۹ سیگنال خاصی مورد استفاده قرار می‌گیرد که ما آنها را گراف‌های "IVI" (جریان-ولتاژ-جریان) خواهیم نامید که این گراف‌ها مثابه گراف‌های "VIV" (ولتاژ-جریان-ولتاژ) که در [۲] مطرح شده است، می‌باشند. گراف IVI قطعه‌ی CDTA در شکل (۳-الف) نشان داده شده است. با توجه به این گراف مشاهده می‌شود که در اثر تفاضل جریان‌های I_p و I_n ، جریان تفاضلی ΔI تولید شده است که این جریان همان جریان جاری در امپدانس Z می‌باشد که باعث ایجاد ولتاژ V_z می‌گردد. این ولتاژ به وسیله هدایت انتقالی g به جریان I_x تبدیل می‌شود. هنگامی می‌توانیم از گراف ساده شده در شکل (۳-ب) استفاده کنیم که لزوماً مشاهده کنیم که جریان به ولتاژ معلوم V_z بستگی ندارد.

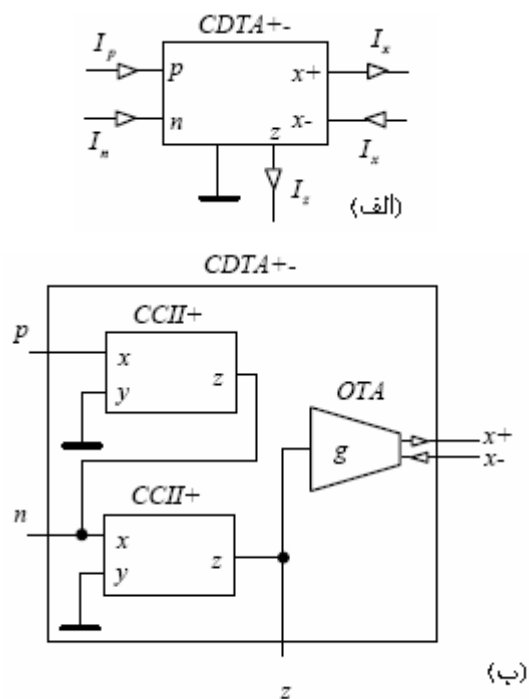


شکل (۳-الف) گراف IVI قطعه‌ی CDTA با بار زمین شده متصل به ترمینال (ب) گراف ساده شده بعد از جهش از گره ولتاژ z



شکل (۱-۱) مدل رفتاری المان CDTA

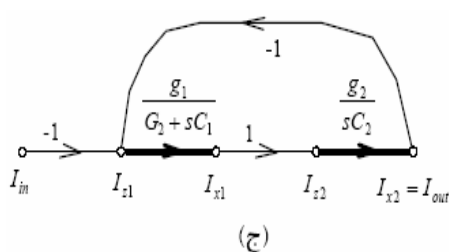
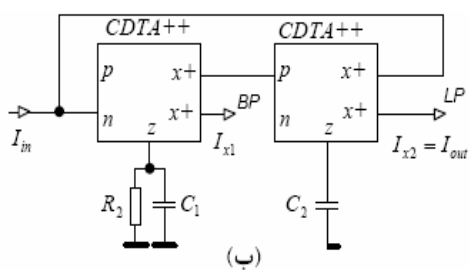
جفت جریان‌های خروجی از پایانه‌های X که در شکل (۱) نشان داده شده است ممکن است سه ترکیب از جهت‌ها را داشته باشند: ۱- هر دو جریان می‌توانند به طرف بیرون حاری شوند ۲- جریان‌ها جهت‌های مختلفی داشته باشند ۳- هر دو جریان به طرف داخل قطعه‌ی CDTA باشند. به عبارت دیگر منظور ما المان‌های $CDTA+$ و $CDTA++$ و $CDTA-$ می‌باشد. همچنانی بهتر است علامت گذاری جهت‌های جریان در مدار با علامت + (به طرف بیرون) و علامت - (به طرف داخل) به صورت نشان داده شده در شکل (۲-الف) صورت گیرد.



شکل (۲-الف) نماد قطعه‌ی CDTA (ب) پیاده سازی CDTA بوسیله مبدل‌های جریان و OTA با دو خروجی جریان

در شکل (۲-الف) نماد پیشنهاد شده CDTA نشان داده شده است. همچنانی شکل (۲-ب) نیز یک CDTA که

۳- کاربرد های قطعه CDTA



شکل ۴- (ب) پیاده سازی آن بوسیله دو عدد CDTA (ج) گراف ساده شده

انتگرال گیر و تقویت کننده وارونگر متتشکل از OPA_1 و OPA_2 که در شکل زیر نشان داده شده است تنها با یک گراف ساده شده IVI در شکل ۴-ج) توابع انتقالی فیلتر های BP (جریان I_{x1}) و LP (جریان I_{x2}) را نتیجه داده است. همچنین فرکانس ω_0 و فاکتور کیفیت Q به قرار زیر می باشند:

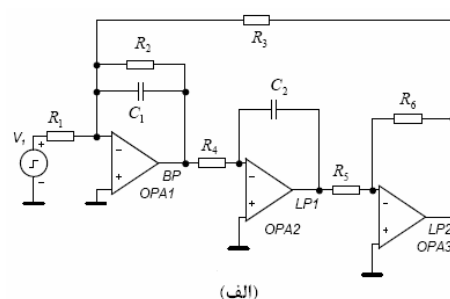
$$\omega_0 = \sqrt{\frac{g_1 g_2}{C_1 C_2}}, \quad Q = \sqrt{\frac{C_1}{C_2}} R_2 \sqrt{g_1 g_2}$$

نوع غیر وارون گر هم می تواند بوسیله اعمال جریان ورودی به پایانه p (به جای پایانه n) بدست آید. در شکل ۵-الف) فیلتر های مرتبه دوم LP یا BP که ترکیبی از انتگرال گیرهای فعال و غیر فعال هستند، نشان داده شده است [۴]. شکل ۵-ب) نیز یک فیلتر LP مدد جریانی را نشان می دهد که در این فیلتر، انتگرال گیر پسیو (غیر فعال) به وسیله تقسیم جریان ترمینال X بین خازن C_2 و مقاومت R_2 شبیه سازی شده است. این حالت مشابه تقسیم ولتاژ در خروجی OPA_1 بین R_2 و C_2 در شکل ۵-الف) می باشد.

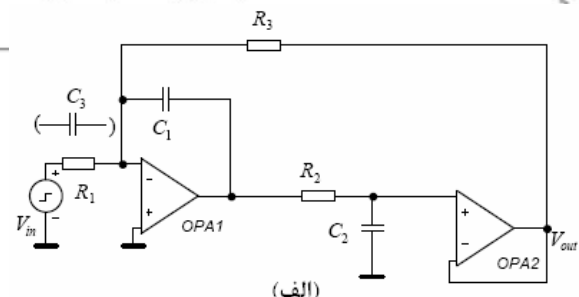
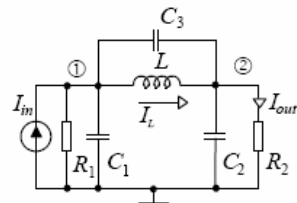
وصل کردن یک خازن زمین شده یا خازن و مقاومت موازی زمین شده به ترمینال z ، یک انتگرال گیر جریان ایده آل یا واقعی را حاصل می کند که در نهایت به طور مستقیم مجموع جریان های ورودی ترمینال های p , n , x , z را با امپدانس خروجی کوچک تحويل می دهد. جمع سیگنال های جریان هم به سادگی با اتصال به سیم های منتظر کامل می شود. اکنون یک تقسیم جریان با مقسم های امپدانس می تواند تحقق یابد. با این روش می توان عملکرد تعدادی از مدارهای مرتبه دوم مد ولتاژ را شبیه سازی کرد. قطعه CDTA همچنین برای شبیه سازی گره به گره^۸ فیلتر های نرdbانی پسیو^۹ (غیر فعال) و نیز برای ترکیبی از معکوس کننده های ادمیتانسی(یا امپدانسی)^۹ مناسب می باشد. با طراحی توپولوژی مداری بوسیله مفاهیم هدایت انتقالی، می توان اثرات مختلف کنترل الکترونیکی پارامترهای مربوط به فیلتر را بدست آورد. مثال های زیر این امر را توضیح می دهند.

۳-۱-۳- فیلترهای مرتبه دوم (درجه دوم)

شکل ۴-الف) فیلتر مرتبه دوم توماس^{۱۰} را نشان می دهد [۳]. همچنین در شکل ۴-ب) نیز همین فیلتر با استفاده از دو عدد CDTA نشان داده شده است. همراه با R_1 و R_2 و C_1 یک انتگرال گیر معکوس کننده را تشکیل داده است که این کار در مدد جریانی بوسیله یک OPA_1 , C_1, R_2 و $CDTA$ و جریانی که به ترمینال n وارد می شود (conductance) انجام شده است. هدایت الکتریکی مقاومت های R_1 و R_3 بوسیله هدایت کننده انتقالی g_1 که مربوط به اولی می باشد جایگزین شده است.



شکل ۴- (الف) فیلتر مرتبه دوم توماس

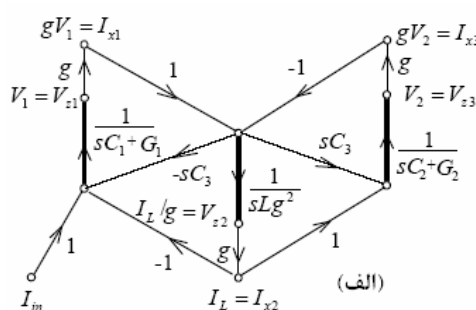


شکل ۶- فیلترهای نردنی مرتبه سوم

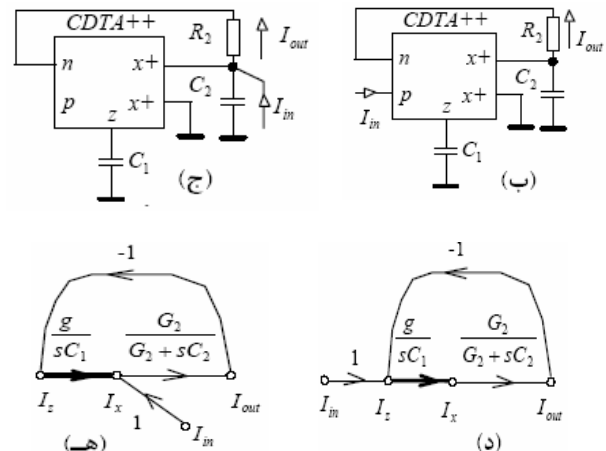
$$\begin{aligned} gV_1 &= g \frac{1}{(sC_1 + G_1)} [I_{in} - I_L] \\ gV_2 &= g \frac{1}{sC_2 + G_2} I_L \\ I_L &= \frac{gV_1 - gV_2}{sLg} \end{aligned} \quad (1)$$

نماد g مشخص کننده یک ضریب هدایت معینی می باشد که برای تبدیل ولتاژ گره ها به جریان در معادله ها مطرح شده است. این جریان ها به وسیله ی CDTA ها تولید خواهند شد و ولتاژ پایانه ها نیز از طریق هدایت انتقالی g به جریان ها تبدیل می شوند.

گراف شکل ۷-الف) از روی معادلات (۱) حاصل شده است. در شکل ۷-ب) نیز یک فیلتر مبتنی بر CDTA نشان داده شده است. یک روش ساده برای ایجاد صفر انتقالی ۱۱ استفاده از خازن C3 می باشد که هم در گراف IVI فیلتر (شکل ۷-الف) و هم در شماتیک آن (شکل ۷-ب) نشان داده شده است.



شکل ۷- (الف) گراف IVI فیلتر مطابق با معادلات (۱)

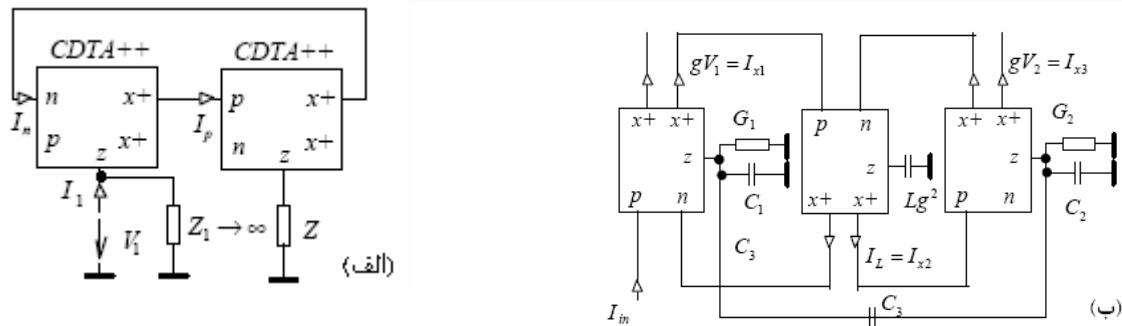
شکل ۵- (الف) فیلتر مرتبه دوم LP (با مقاومت R1 یا BP (با خازن C3)
ب) فیلتر LP مبتنی بر CDTA (ج) فیلتر BP مبتنی بر CDTA (د)
(ه) گراف های ساده شده ی IVI متضاظر با آنها

در مورد فیلتر BP (C3) به جای R1) باتوجه به شکل ۵-الف) ولتاژ ورودی فیلتر به وسیله بھره واقعی C3/C1 به خروجی OPA1 منتقل شده است. ورودی جریان فیلتر مبتنی بر CDTA نمی تواند به داخل پایانه ی p منتهی شده باشد (به خاطر انTEGRAL گیر بودن)، بلکه این جریان به سادگی به پایانه ی x منتهی شده و با جریان خروجی OTA جمع خواهد شد. این حالت با توجه به گراف شکل ۵-ه) متناظر با تساوی خازن های C1 و C3 می باشد(C1=C3). در این صورت پارامترهای ω_0 و Q به صورت زیر خواهند بود:

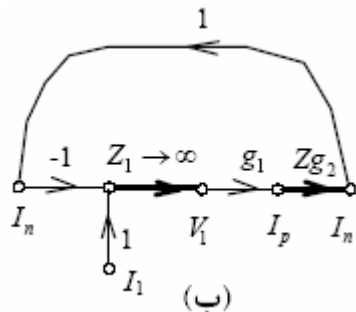
$$\omega_0 = \sqrt{\frac{g}{R_2 C_1 C_2}}, \quad Q = \sqrt{\frac{C_1}{C_2}} \sqrt{R_1 g}$$

۲-۳- شبیه سازی فیلترهای نردنی غیر فعال

برای فیلتر نردنی شکل (۶)، معادلاتی برای ولتاژ گره های V1 و V2 می نویسیم و در آنها ظرفیت خازن C3 را در نظر نمی گیریم.

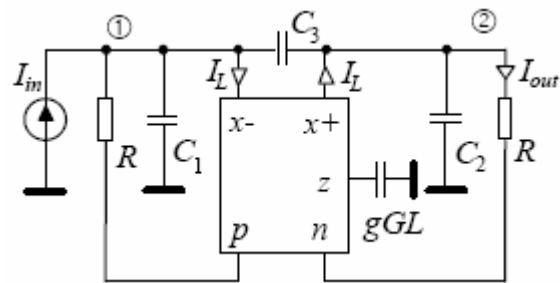


شکل ۷- (ب) فیلتر مربوط به سنتز ۱۲ گراف IVI آن



شکل ۹- (الف) معکوس کننده ای امپدانسی با دو CDTA (ب) گراف IVI متنظر با آن

ورودی های متقارن برای یک فیلتر نردنی (R₁=R₂=R) پیاده سازی ساده ای از CDTA+ را فراهم می کند که در شکل (۸) نشان داده شده است. برای پیاده سازی ورودی های غیر متقارن می توان از تقسیم جریان در مقاومت ها استفاده نمود.



شکل ۸- یک شبیه سازی با صرفه از فیلتر نردنی شکل (۶) با ورودی های متقارن

۳-۳-۳- معکوس کننده های امپدانسی مبتنی بر CDTA

معکوس کننده های امپدانسی را می توان با یک جفت OTA تحقق بخشید [۳]. قاعده ای مشابهی در مدار شکل (۹-الف) پیاده سازی شده و در شکل (۹-ب) نیز گراف IVI متناظر با آن نشان داده شده است که در آن Z₁ امپدانس موازی با بار می باشد. با بررسی گراف IVI، شناخته شده ای برای بدست آوردن امپدانس ورودی و امپدانس وارون گر خواهیم داشت:

$$Z_{in} = \frac{V_1}{I_1} = \frac{Z_1}{1 + g_1 g_2 Z_1 Z} \xrightarrow{Z_1 \rightarrow \infty} \frac{1}{g_1 g_2 Z}$$

برای شبیه سازی های کامپیوتری ابتدا یک مدل SPICE از CDTA درست می کنیم که این مدل دارای دو بخش می باشد. بخش اول شامل منبع جریان کنترل شده با جریان تفاضلی (I_p - I_n) است که به وسیله بخشی از قطعه CDBA مدل می شود [۵] و بخش دوم نیز شامل تقویت کننده ای هدایت انتقالی می باشد که در SPICE با تقویت کننده ای تجاری MAX435, 275MHz مدل می شود.

با شبیه سازی مدارهای بخش ۳ عملکرد آنها تا ده ها مگا هرتز بررسی شده است. پهنهای باند OTA هنگامی کاهش می یابد که جریان های خروجی در امپدانس های پایین کار نمی کنند. از این رو به نظر می رسد که ساختار فیلترهای توماس (شکل ۴- ب) و نردنی (شکل ۷- ب) از فیلترهایی که با سلول های RC درست می شوند (شکل ۵- ب) بهتر عمل کنند. زیرا در فیلترهای مذکور از تقسیم امپدانسی روی جریان خروجی OTA استفاده می شود.

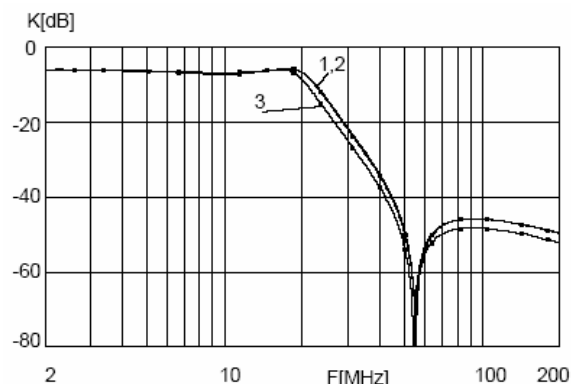


سپاسگذاری

در پایان جا دارد از راهنمایی های راه گشای استاد عزیزمان
جناب آقای مهندس فضلعلی پور که ما را در تهیه این
مقاله بسیار یاری نموده اند تشکر و قدردانی کنیم.

مراجع

- [1] C. Acar, S. Ozoguz, "A New Versatile Building Block: Current Differencing Buffered Amplifier", Microelectronics Journal 30 (2002), pp.157-160.
- [2] D. Biolek, V. Biolkova, "Modelling and Optimization of Active Filters by Hybrid "VIVMMC"-graphs", Systems and Control: Theory and Applications, World Scientific, Electrical and Computer Engineering Series, 2003, pp.381-386.
- [3] R. Schaumann, M. S.Ghausi, K. R.Laker, "Design of Analog Filters", Prentice Hall, 2004.
- [4] K. Hajek, J. Sedlacek, "A New Second Order Building Block with Minimised Parasitic Transfer Zero Influence", In: ECCTD'99. Stresa, Italy, 2005, pp. 811-814.
- [5] I. lattenberg, K. Vrba, D. Biolek, "Bipolar Current Differencing Buffered Amplifiers and its Application", IASTED-SIP2004 Int. Conference, Honolulu, Hawaii, pp. 376-379.



شکل (۱۰) - پاسخ فرکانسی فیلتر نردبانی شکل (۱) و پاسخ شبیه سازی
شده ای مبتنی بر CDTA با ساختار گره به گره شکل (۷-ب) (۳) و شکل
(۴)

در شکل (۱۰) نتیجه ای شبیه سازی فیلترهای اکتیو شکل (۷-ب) و شکل (۸) نشان داده شده است. این فیلترها به صورت یک فیلتر LP کائور^{۱۳} با ریپل ۱dB، فرکانس قطع ۲۰MHz و با یک تضعیف در بهره ای ۴۰dB در فرکانس ۵۰MHz طراحی شده اند. فیلتر نردبانی شکل (۶) دارای پارامترهای زیر می باشد:

$$C_1=C_2=151\text{pF}, \quad C_3=11.5\text{pF}, \quad L=719\text{nH}, \\ R_1=R_2=100\Omega$$

بهره ای ادمیتانسی OTA در ۱۰mS تنظیم می گردد.

۵- نتیجه گیری

CDTA پیشنهادی می تواند به سادگی در انتگرال گیرهایی که دارای چند ورودی جریان می باشند، استفاده شود. همچنین به نظر می رسد که در آینده به عنوان بلوك اصلی فیلترهای حالت جریانی نیز معرفی شود.

در حالت ایده ال چنین فیلترهایی تنها از CDTA ها ساخته می شوند که توانایی تبدیل جریان به ولتاژ وابسته به فرکانس را دارند.

مقایسه بین CDTA و CDBA نشان می دهد که اگر از CDTA در ساختارها استفاده شود، نیازی به مبدل های جریان به ولتاژ و بر عکس نخواهیم داشت.

-
- 1-Current Differencing Buffered Amplifier
 - 2-Current Differencing Transconductance Amplifier
 - 3-Operational Transconductance Amplifier
 - 4-Transconductance
 - 5-Current Conveyors Second Generation
 - 6-Flow Graphs
 - 7-Leapfrog
 - 8-Passive Ladder Filters
 - 9-Immittance
 - 10-Tow-Thomas Biquad Filter
 - 11-Transfer Zero
 - 12-Syntheiz
 - 13-Cauer LP Filter